

本文引用:刘 勇,易振宇,张信成.基于OPG/RANK/RANKL信号通路探究益肾健骨颗粒对绝经后骨质疏松大鼠BMSCs成骨分化的影响[J].湖南中医药大学学报,2022,42(8):1277-1282.

基于OPG/RANK/RANKL信号通路探究益肾健骨颗粒对绝经后骨质疏松大鼠BMSCs成骨分化的影响

刘 勇¹,易振宇²,张信成³

(1.湖南省中西医结合医院医保科,湖南 长沙 410006;2.湖南省中西医结合医院脊柱骨肿瘤科,湖南 长沙 410006;

3.湖南省中西医结合医院创伤关节科,湖南 长沙 410006)

[摘要] 目的 探讨益肾健骨颗粒对绝经后骨质疏松大鼠骨髓间充质干细胞(bone marrow mesenchymal stem cells, BMSCs)成骨分化的影响及其作用机制。方法 给予大鼠分别灌胃益肾健骨颗粒、生理盐水1周,制备含药血清及正常血清。采用背侧双切口切除双侧卵巢建立绝经后骨质疏松模型,分离并培养大鼠BMSCs,流式细胞术鉴定BMSCs,将BMSCs细胞随机分为对照组(N组)、含药血清组(J组)、含药血清+si-NC组(J+C组)、含药血清+si-OPG组(J+O组),按组进行相应处理,对各组BMSCs进行诱导成骨分化,碱性磷酸酶(alkaline phosphatase, ALP)染色与茜素红S染色法检测ALP活性及矿化结节数,实时荧光定量PCR(real-time PCR, RT-qPCR)检测ALP、Runt相关转录因子2(Runt-associated transcription factor 2, Runx2)、骨钙素(osteocalcin, OCN)mRNA表达,Western blot检测骨保护素(osteoprotegerin, OPG)、核因子κB受体活化因子(receptor activator of nuclear factor kappa B, RANK)、RANK配体(RANK ligand, RANKL)蛋白表达。结果 成骨分离绝经后骨质疏松大鼠BMSCs,并通过形态及CD29、CD44、CD45、CD34表达鉴定;与N组比较,J组与J+C组细胞染色加深,ALP活性、矿化结节数、ALP、Runx2、OCN mRNA表达水平及OPG蛋白表达水平显著升高($P<0.05$),RANK、RANKL蛋白表达水平显著降低($P<0.05$);与J组、J+C组比较,J+O组细胞ALP染色变浅,ALP活性、矿化结节数、ALP、Runx2、OCN mRNA表达水平及OPG蛋白表达水平显著降低($P<0.05$),RANK、RANKL蛋白表达水平显著升高($P<0.05$)。结论 益肾健骨颗粒通过调节OPG/RANK/RANKL信号通路,促进绝经后骨质疏松大鼠BMSCs成骨分化。

[关键词] 益肾健骨颗粒;经后骨质疏松;OPG/RANK/RANKL信号通路;骨髓间充质干细胞;成骨分化

[中图分类号]R271.9

[文献标志码]A

[文章编号]doi:10.3969/j.issn.1674-070X.2022.08.009

Effects of Yishen Jiangu Granules on the osteogenic differentiation of BMSCs in postmenopausal osteoporosis rats based on OPG/RANK/RANKL signaling pathway

LIU Yong¹, YI Zhenyu², ZHANG Xincheng³

(1. Medical Insurance Department of Hunan Integrated Traditional Chinese and Western Medicine Hospital, Changsha, Hunan 410006, China; 2. Department of Spinal Bone Oncology, Hunan Integrated Traditional Chinese and Western Medicine Hospital, Changsha, Hunan 410006, China; 3. Department of Traumatic Arthritis, Hunan Integrated Traditional Chinese and Western Medicine Hospital, Changsha, Hunan 410006, China)

[Abstract] Objective To investigate the effect and mechanism of Yishen Jiangu Granules on the osteogenic differentiation of bone marrow mesenchymal stem cells (BMSCs) in postmenopausal osteoporosis rats. Methods Rats were given Yishen Jiangu

[收稿日期]2022-03-09

[基金项目]湖南省中医药管理局科研计划重点项目(2020021)。

[第一作者]刘 勇,女,医师,研究方向:中医药防治类风湿关节炎。

[通信作者]* 张信成,男,硕士,副主任医师,E-mail:zxc0556@163.com。

Granules and normal saline for 1 week to prepare drug-containing serum and normal serum. A rat model of postmenopausal osteoporosis was established by bilateral ovaries resection through dorsal double incision, BMSCs were isolated and cultured, and the BMSCs were identified by flow cytometry. The BMSCs were grouped into control group (N group), medicated serum group (J group), medicated serum+si-NC group (J+C group), and medicated serum+si-OPG group (J+O group), after treated according to the groups, the BMSCs in each group were induced to differentiate into osteogenic cells, alkaline phosphatase (ALP) staining and alizarin red S staining were performed to measure ALP activity and the number of mineralized nodules, respectively, real-time PCR (RT-qPCR) was performed to measure the expressions of ALP, Runt-associated transcription factor 2 (Runx2), and osteocalcin (OCN) mRNA, Western blot was performed to measure the protein expression of osteoprotegerin (OPG), receptor activator of nuclear factor kappa B (RANK) and RANK ligand (RANKL). **Results** BMSCs from postmenopausal osteoporotic rats were isolated, and the morphology and expression of CD29, CD44, CD45 and CD34 were identified. Compared with the N group, the staining of cells in the J group and J+C group was deepened, and the ALP activity, the number of mineralized nodules, ALP, Runx2, OCN mRNA expression levels and OPG protein expression levels were significantly increased ($P<0.05$), the protein expression levels of RANK and RANKL were significantly decreased ($P<0.05$); compared with the J group, J+C group, the ALP staining of the J+O group cells became lighter, ALP activity, and the number of mineralized nodules, ALP, Runx2, OCN mRNA expression levels and OPG protein expression levels were significantly decreased ($P<0.05$), while RANK and RANKL protein expression levels were significantly increased ($P<0.05$).

Conclusion Yishen Jiangu Granules can promote the osteogenic differentiation of BMSCs in postmenopausal osteoporosis rats by regulating the OPG/RANK/RANKL signaling pathway.

[Keywords] Yishen Jiangu Granules; postmenopausal osteoporosis; OPG/RANK/RANKL signaling pathway; bone marrow mesenchymal stem cells; osteogenic differentiation

骨质疏松症主要表现为骨量减少、骨微结构破坏,可增加骨折风险,多发于老年人,在绝经后的女性中发病率高达50%,雌激素替代疗法为治疗骨质疏松症的有效措施,但是长期使用可增加乳腺癌的风险^[1-2]。益肾健骨颗粒具有补益肝肾、益气养血、化瘀通络的作用,对芳香化酶抑制剂相关的肌肉骨骼症状具有良好的改善作用^[3]。骨髓间充质干细胞(bone marrow mesenchymal stem cells, BMSCs)可分化为成骨细胞,在维持骨的重建过程中发挥重要作用^[4]。研究显示,健骨颗粒可以调低miR-141的表达,促进BMSCs成骨分化^[5]。骨保护素(osteoprotegerin, OPG)/核因子κB受体活化因子(receptor activator of nuclear factor-κB, RANK)/RANK配体(RANK ligand, RANKL)信号通路在骨吸收与骨形成过程中发挥调控作用,激活OPG/RANKL/RANK信号通路可抑制破骨细胞的分化和成熟,促进BMSCs细胞成骨分化^[6]。因此,本研究探索肾健骨颗粒对绝经后骨质疏松大鼠BMSCs成骨分化及OPG/RANK/RANKL信号通路的影响,以期阐明其作用机制。

1 材料与方法

1.1 动物

SPF级SD雌性未受孕大鼠(7~8周龄),体质量(200 ± 20)g,购自广州中医药大学[生产许可证号:SCXK(粤)2019-0047]。

1.2 主要材料

益肾健骨颗粒(批号:20210320,湖南省中医药研究院制剂室);β-磷酸甘油钠(批号:G9422)、地塞米松磷酸钠注射液(批号:D1576)、茜素红S(批号:A5533)均购自美国Sigma公司;OPG小干扰RNA(small interfering RNA-OPG, si-OPG, 批号:Z190301)、小干扰RNA阴性对照(small interfering RNA negative control, si-NC, 批号:A20210324)、碱性磷酸酶(alkaline phosphatase, ALP, 批号:202104085)、Runt相关转录因子2(Runt-associated transcription factor 2, Runx2, 批号:202006011)、骨钙素(osteocalcin, OCN, 批号:H20210816)引物均购自广州锐博生物科技有限公司;反转录第一链cDNA合成试剂盒(批号:K1622,美国Thermo Fisher公司);通用型荧光定量试剂盒(批号:04913914001,美国Roche公司);5-溴-4-氯-3-吲哚基-磷酸盐(5-bromo-4-chloro-3-indolyl phosphate, BCIP)/四唑硝基蓝(nitro blue tetrazolium chloride monohydrate, NBT)碱性磷酸酯酶显色试剂盒(批号:C3206)及ALP活性试剂盒(批号:P0321M)均购自碧云天生物科技有限公司;OPG(sc-390518)、RANK(批号:sc-59981)、RANKL(批号:sc-52950)抗体均购自美国Santa cruz公司;异硫氰酸荧光素(fluorescein isothiocyanate, FITC)荧光标记抗体CD29-FITC(批号:ab21845)、藻红蛋白(phycoerythrin, PE)标记的CD44-PE(批号:ab23396)、CD45-FITC

(批号:ab33916)和 CD34-PE(批号:ab223930)抗体均购自美国 Abcam 公司。凝胶成像系统(型号:FluorChem HD2, 美国自然基因科技有限公司);流式细胞仪(型号:CytoFLEX, 美国贝克曼库尔特公司);相差显微镜(型号:CX23, 日本奥林巴斯公司)。

1.3 方法

1.3.1 含药血清制备 给予大鼠益肾健骨颗粒灌胃, 根据大鼠与人药物计量换算关系, 大鼠每日用量为 140 mg, 溶解于 0.5 mL 生理盐水。另取大鼠给予不含药的生理盐水 0.5 mL 灌胃。所有大鼠均给药 1 周, 给药结束后, 腹主动脉采全血后, 1500 r/min, 离心半径 10 cm, 离心 10 min 取上清液并过滤除菌, 分别获得益肾健骨颗粒含药血清及正常血清, 置于 -20 °C 冰箱冷冻备用。

1.3.2 BMSCs 细胞分离与鉴定 参照文献[7]中的方法, 采用背侧双切口切除双侧卵巢建立绝经后骨质疏松模型, 术后 1 d 开始各组每日注射青霉素(2.0×105 IU/kg), 共 3 d。造模 12 周后, 用 microCT 股骨远端扫描及检测体质量, 当骨密度, 骨体积分数、骨小梁数量等数值较正常显著降低时, 提示造模成功^[8]。

造模成功后断颈处死大鼠, 无菌条件分离股骨和胫骨, 去两端骨骼暴露骨髓腔, 使用注射器注射 α-MEM 培养基反复吹打骨髓腔, 收集细胞并过滤, 接种至培养瓶中常规传代培养, 每隔 3 d 换液, 取第 3 代 BMSCs 用于后续实验, 倒置相差显微镜观察细胞形态。

流式细胞术鉴定 BMSCs 表面标志物: 收集细胞液, 1000 r/min, 离心半径 10 cm, 离心 5 min 收集细胞沉淀, PBS 洗涤并重悬, 加入 CD29-FITC、CD44-FITC、CD45-PE-Cy5.5 和 CD34-PE 抗体, 避光孵育, 流式细胞仪检测。

1.3.3 BMSCs 细胞分组及成骨分化诱导 第 3 代 BMSCs 制备成 1×10⁴/mL 的细胞悬液, 接种于 6 孔板中, 将细胞分为对照组(N 组)、含药血清组(J 组)、含药血清+si-NC 组(J+C 组)、含药血清+si-OPG 组(J+O 组), 每组 6 个复孔。J+C 组、J+O 组细胞分别转染 si-NC、si-OPG 质粒。转染 48 h 后, N 组培养液加入正常血清, 其余组培养液中均加入益肾健骨颗粒含药血清。待细胞融合至约 90% 时, 进行成骨分化诱导培养, 使用 α-MEM 培养基(含有 10% FBS、10 μmol/L β-磷酸甘油、10 μmol/L 地塞米松、50 μmol/L 维生素 C)进行诱导培养, 每隔 3 d 换成骨分化诱导培养基。

1.3.4 ALP 染色 成骨分化诱导 7 d 后, 弃去培养液, 于 4% 多聚甲醛中固定 15 min, 加入 BCIP/NBT 碱性磷酸酯酶染色液, 避光染色 30 min, 观察染色情况。另收集细胞, 使用 ALP 检测试剂盒检测 ALP 活性。

1.3.5 茜素红 S 染色 BMSCs 成骨诱导 28 d 后, 弃去培养液加入 4% 多聚甲醛固定 30 min, 加入 0.2% 茜素红 S 染色液染色 30 min, 蒸馏水冲洗多余液体, 待细胞干燥后, 倒置相差显微镜观察并拍照, 随机选取 5 个视野, 计算矿化结节数。

1.3.6 RT-qPCR 实验检测 ALP、Runx2、OCN mRNA 表达 收集各组 BMSCs 细胞, 加入 Trizol 试剂提取总 RNA, 使用反转录试剂盒反转录合成 cDNA, PCR 扩增检测 ALP、Runx2、OCN mRNA 相对表达量。ALP 正向引物为 TGGTACTCGGACAATGAGAT-GC, 反向引物为 GCTCTTCCAAATGCTGATGAGGT; Runx2 正向引物为 CCTCTGACTTCTGCCTCTGG, 反向引物为 GATGAAATGCTGGGAAC TG; OCN 正向引物为 GGGCTCCAAGTCCATTGTT, 反向引物为 ACC-CGAATGTTGAGCGAGAG。以 β-actin 为内参, 采用 2^{-ΔΔCt} 法计算各基因相对表达量。

1.3.7 Western blot 检测 OPG、RANK、RANKL 蛋白表达 BMSCs 成骨诱导培养 7 d 后, 离心收集各组细胞加入 RIPA 裂解液裂解细胞, 离心收集上清液, BCA 法检测蛋白浓度, 取 40 μg 蛋白加上样缓冲液煮沸变性后, 进行 SDS-PAGE 分离蛋白并转膜, 分别加入稀释后的 OPG、RANK、RANKL 抗体和 β-actin 抗体, 4 °C 摆床过夜, 加入相应二抗 37 °C 孵育 1 h, 加入增强 ECL 化学发光液显色, FluorChem HD2 凝胶成像系统成像, 以 β-actin 为内参, Image J 软件分析蛋白表达。

1.4 统计学方法

采用 SPSS 25.0 进行统计分析。计量资料符合正态分布及方差齐检验, 用“ $\bar{x} \pm s$ ”描述, 多组间比较行单因素方差分析, 组间两两比较行 SNK-q 检验。以 $P < 0.05$ 为差异有统计学意义。

2 结果

2.1 BMSCs 形态观察、鉴定

成功分离 BMSCs 细胞, 大鼠第 1 代细胞培养 24 h 后, 贴壁细胞形态不一, 呈现长梭形, 培养至第 3 代细胞时, 细胞铺满瓶底呈梭形, 且形态均一, 排列紧密呈放射状或旋涡状。详见图 1。

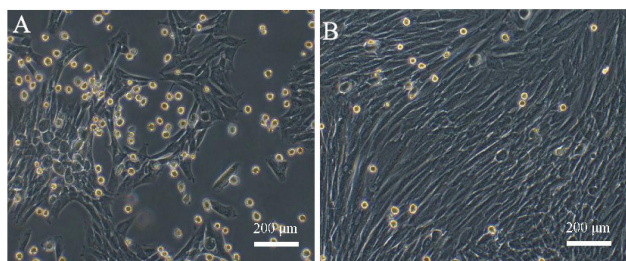


图1 显微镜下观察BMSCs形态

注:A. BMSCs第1代细胞;B. BMSCs第3代细胞。

流式细胞术检测BMSCs细胞显示:CD29(97.34%)、CD44(98.35%)呈阳性表达,CD45(1.85%)、CD34(2.34%)呈阴性表达。详见图2。

2.2 益肾健骨颗粒对BMSCs ALP的影响

成骨分化诱导7 d后,ALP染色阳性的蓝黑色。与N组比较,J组与J+C组染色加深,ALP活性明显升高($P<0.05$)。与J组、J+C组比较,J+O组ALP染色变浅,ALP活性明显降低($P<0.05$)。详见表1、图3。

2.3 益肾健骨颗粒对BMSCs成骨分化矿化结节的影响

诱导成骨分化28 d行茜素红染色,矿化结节被染成红色。J组、J+C组较N组矿化结节数显著增加

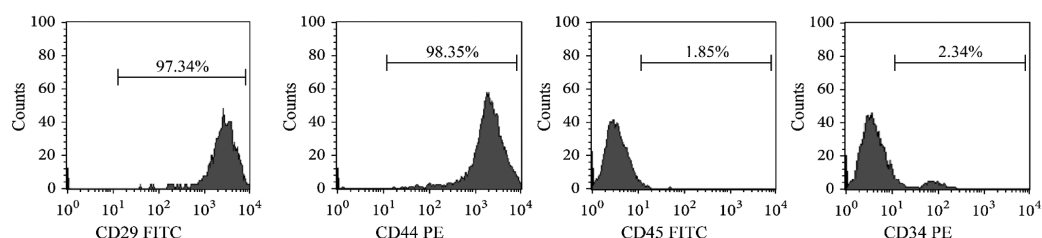
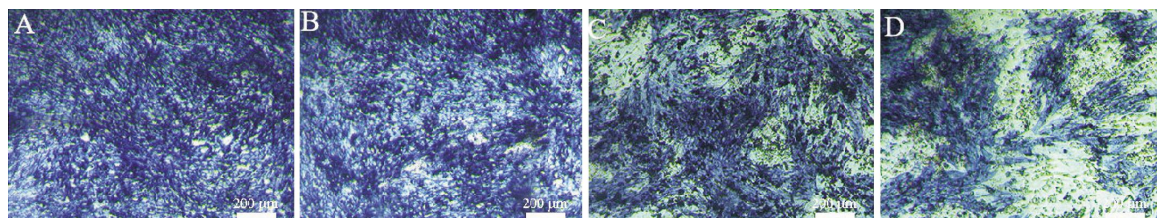
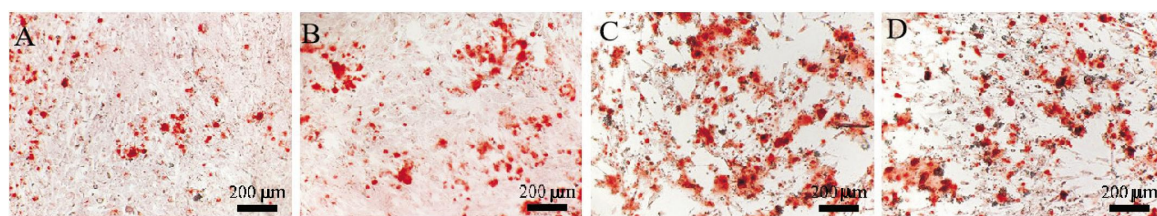


图2 BMSCs的流式细胞仪分析

图3 各组BMSCs的ALP染色($\times 200$)

注:A. N组;B. J组;C. J+C组;D. J+O组。

图4 各组BMSCs成骨分化的茜素红染色($\times 200$)

注:A. N组;B. J组;C. J+C组;D. J+O组。

表1 益肾健骨颗粒对BMSCs ALP活性的影响($\bar{x}\pm s, n=6$)

组别	ALP/(U·L ⁻¹)
N组	278.26±21.64
J组	426.51±30.29*
J+C组	435.62±28.46*
J+O组	383.47±24.32**

注:与N组相比,* $P<0.05$;与J+C组相比,** $P<0.05$;与J组相比,*** $P<0.05$ 。

($P<0.05$),J+O组较J组、J+C组矿化结节数显著减少($P<0.05$)。详见图4、表2。

表2 益肾健骨颗粒对BMSCs成骨分化矿化结节的影响($\bar{x}\pm s, n=6$)

组别	矿化结节数/个
N组	6.53±1.13
J组	15.43±2.76*
J+C组	14.90±2.95*
J+O组	9.53±1.78**

注:与N组相比,* $P<0.05$;与J+C组相比,** $P<0.05$;与J组相比,*** $P<0.05$ 。

2.4 益肾健骨颗粒对BMSCs成骨分化相关基因mRNA表达的影响

与N组比较,J组与J+C组ALP、Runx2、OCN mRNA表达水平显著升高($P<0.05$)。与J组、J+C组比较,J+O组ALP、Runx2、OCN mRNA表达水平显著降低($P<0.05$)。详见表3。

表3 益肾健骨颗粒对BMSCs细胞成骨分化相关基因表达的影响($\bar{x}\pm s, n=6$)

组别	ALP	Runx2	OCN
N组	1.05±0.06	1.03±0.07	0.93±0.08
J组	1.67±0.10*	1.52±0.14*	1.45±0.11*
J+C组	1.63±0.09*	1.53±0.15*	1.50±0.12*
J+O组	1.26±0.07#	1.39±0.10#	1.32±0.09**

注:与N组相比,*P<0.05;与J+C组相比,**P<0.05;与J组相比,#P<0.05。

2.5 益肾健骨颗粒对BMSCs蛋白OPG、RANK、RANKL表达的影响

与N组比较,J组与J+C组OPG表达水平显著升高($P<0.05$),RANK、RANKL表达水平显著降低($P<0.05$)。与J组、J+C组比较,J+O组OPG表达水平显著降低($P<0.05$),RANK、RANKL表达水平显著升高($P<0.05$)。详见图5、表4。

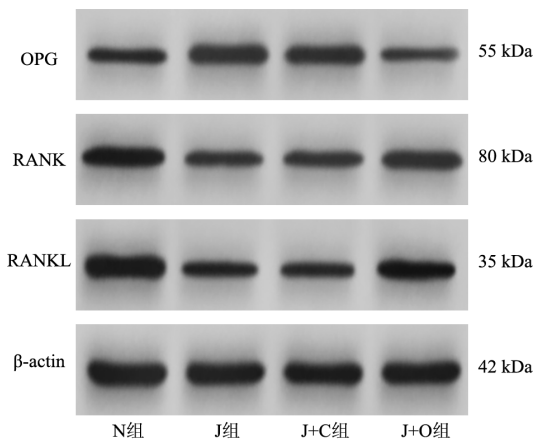


图5 Western blot检测各组BMSCs蛋白OPG、RANK、RANKL表达

表4 各组细胞OPG、RANK、RANKL蛋白表达比较($\bar{x}\pm s, n=6$)

组别	OPG	RANK	RANKL
N组	0.62±0.08	0.97±0.11	1.05±0.12
J组	1.01±0.11*	0.63±0.07*	0.51±0.07*
J+C组	1.03±0.12*	0.65±0.08*	0.53±0.06*
J+O组	0.56±0.09#	0.83±0.06#	0.75±0.08**

注:与N组相比,*P<0.05;与J+C组相比,**P<0.05;与J组相比,#P<0.05。

3 讨论

BMSCs在一定的条件下可向软骨细胞、成骨细胞、脂肪细胞、心肌细胞等分化,BMSCs在成骨诱导条件下,向成骨细胞分化,促进BMSCs成骨分化是治疗与预防骨质疏松症的有效策略^[9-10]。目前,促进BMSCs成骨分化的报道有很多,中药提取物如补骨脂素可诱导BMSCs成骨分化^[11]。另有研究显示,固本增骨方(炙黄芪、当归、烫狗脊)含药血清可促进BMSCs的增殖,并诱导其成骨分化^[12]。中医学认为骨

质疏松症是脾虚、肾亏等引起的,益肾健骨颗粒主要由千年健、红花、砂仁、熟地黄等构成,方中千年健有强筋止痛功效,红花、丹参具有益气活血的作用,淫羊藿有活血补肾的作用,熟地黄可以强筋健骨,诸药合用可以强筋健骨、补肾健脾之功效^[13-14]。本研究建立绝经后骨质疏松大鼠模型,经前期研究,灌胃给药益肾健骨颗粒可改善大鼠的骨质疏松症,但其具体作用机制尚不清楚。

本研究建立绝经后骨质疏松大鼠模型,成功分离大鼠的BMSCs细胞,经观察细胞形态与鉴定细胞表面标志物,与相关报道^[15]一致。本研究BMSCs细胞使用益肾健骨颗粒含药血清培养后,经成骨分化诱导培养7 d后,ALP染色加深,ALP活性明显升高($P<0.05$),诱导成骨分化28 d行茜素红染色显示矿化结节数显著升高($P<0.05$),提示益肾健骨颗粒可能具有促进BMSCs细胞成骨分化的作用。Runx2是成骨过程中最重要的转录因子,调控间充质干细胞向成骨细胞分化;OCN为钙结合蛋白,参与骨钙代谢,可反映骨形成^[16-17]。本研究RT-qPCR检测ALP、Runx2、OCN mRNA表达显示,J组ALP、Runx2、OCN mRNA表达水平显著升高($P<0.05$),证实益肾健骨颗粒有促进BMSCs细胞成骨分化的作用。

OPG/RANK/RANKL信号通路在参与骨代谢、免疫调节、肿瘤发生方面发挥重要调控作用,该通路可诱导破骨细胞分化成熟、促进骨吸收,而上调OPG水平可降低RANKL与RANK的相互作用,降低骨吸收,促进成骨分化^[18-19]。激活OPG/RANKL/RANK信号通路可抑制破骨细胞的分化和成熟,促进BMSCs向成骨分化^[20]。本研究结果显示,经益肾健骨颗粒含药血清的大鼠BMSCs细胞中OPG表达水平显著升高($P<0.05$),RANK、RANKL表达水平显著降低($P<0.05$),提示益肾健骨颗粒可调节OPG/RANK/RANKL信号通路。本研究结果也显示,与只经益肾健骨颗粒含药血清处理的BMSCs细胞相比,先转染抑制OPG表达、再用含药血清处理的BMSCs细胞的OPG表达水平显著降低,RANK、RANKL表达水平显著升高,且ALP活性及矿化结节数降低,即抑制OPG表达可部分逆转益肾健骨颗粒对BMSCs细胞成骨分化的促进作用。以上结果表明,益肾健骨颗粒可通过调节OPG/RANK/RANKL信号通路,促进绝经后骨质疏松大鼠BMSCs成骨分化。

综上所述,益肾健骨颗粒可通过调节 OPG/RANK/RANKL 信号通路,促进绝经后骨质疏松大鼠 BMSCs 成骨分化。

参考文献

- [1] BOGACZ A, KAMIŃSKI A, ŁOCHYŃSKA M, et al. The importance of the UGT1A1 variants in the development of osteopenia and osteoporosis in postmenopausal women[J]. *Scientific Reports*, 2021, 11(1): 17385.
- [2] 纪元元,李劲峰,寇红伟,等.微小 RNA-23a-3p 负调控 Runx2 基因抑制骨髓间充质干细胞成骨分化诱导绝经后骨质疏松的研究[J].中华实验外科杂志,2022,39(1):112-115.
- [3] GUO Y Z, DU J, JIANG M, et al. Full composition granules of Huanglian decrease the serum monocyte chemotactic protein-1 and connective tissue growth factor levels and inhibit kidney nuclear factor-κB expression in rats with high-fat diet-induced diabetes[J]. *Journal of Traditional Chinese Medicine*, 2021, 41(3): 424-431.
- [4] ZHAO S J, KONG F Q, JIE J, et al. Macrophage MSR1 promotes BMSC osteogenic differentiation and M2-like polarization by activating PI3K/AKT/GSK3β/β-catenin pathway[J]. *Theranostics*, 2020, 10(1): 17-35.
- [5] 张楚天,张文明,林燕萍,等.健骨颗粒含药血清调控 miR-141 对小鼠骨髓间充质干细胞成骨分化的影响[J].中国骨质疏松杂志,2020,26(4):497-501,584.
- [6] MENG B W, WU D L, CHENG Y F, et al. Interleukin-20 differentially regulates bone mesenchymal stem cell activities in RANKL-induced osteoclastogenesis through the OPG/RANKL/RANK axis and the NF-κB, MAPK and AKT signalling pathways[J]. *Scandinavian Journal of Immunology*, 2020, 91(5): e12874.
- [7] 颜春鲁,李盛华,郭爱军,等.藤黄健骨胶囊对去卵巢骨质疏松大鼠骨密度和骨代谢的影响[J].中国骨质疏松杂志,2018,24(1):5-9,19.
- [8] 张志恒,张文明,魏振朴,等.健骨颗粒对去卵巢小鼠 miR-141 及成骨基因 Dlx5/Msx2/Runx2 的影响[J].康复学报,2018,28(6):26-31.
- [9] YOU W L, XU Z L. Curculigoside promotes osteogenic differentiation of ADSCs to prevent ovariectomized-induced osteoporosis[J]. *Journal of Orthopaedic Surgery and Research*, 2021, 16(1): 279.
- [10] LIN H Z, ZHOU Y, LEI Q, et al. Effect of inorganic phosphate on migration and osteogenic differentiation of bone marrow mesenchymal stem cells[J]. *BioMed Central Developmental Biology*, 2021, 21(1): 1.
- [11] 杨 锋,李文雄,康武林,等.补骨脂素诱导 BMSCs 成骨分化中的 lncRNA 表达谱分析[J].中国骨质疏松杂志,2021,27(3):385-391.
- [12] 宋 敏,巩彦龙,董 平,等.基于 BMP-Smad/RUNX2 信号通路探讨固本增骨方含药血清对大鼠 BMSCs 增殖和成骨分化的影响[J].世界科学技术-中医药现代化,2020,22(4):1159-1165.
- [13] 李志鹏,徐 磊,杜仲补肾健骨颗粒对骨折不愈合患者 siCAM-1、sVCAM-1 及骨诱导蛋白 BMP-2 及微循环因子的影响 [J].现代中西医结合杂志,2018,27(7):749-752.
- [14] 郭万英,马凌风.补肾健骨汤在促进骨质疏松性压缩骨折术后愈合及腰椎功能改善中的作用[J].长寿,2021(2):155.
- [15] 魏振朴,张文明,孙 攀,等. miR-141 及成骨基因 Dlx5、Msx2、Runx2 在去卵巢骨质疏松模型小鼠 BMSCs 成骨分化中的表达[J].康复学报,2019,29(6):37-43.
- [16] WANG X C, MI Y C, HE W, et al. Down-regulation of miR-340-5p promoted osteogenic differentiation through regulation of runt-related transcription factor-2 in MC3T3-E1 cells[J]. *Bioengineered*, 2021, 12(1): 1126-1137.
- [17] 邢 磊,耿远明,李文昊,等. RUNX2/LAPTM5 在小鼠颅骨前成骨细胞矿化诱导中的表达[J].南方医科大学学报,2021,41(9):1394-1399.
- [18] MENG B W, WU D L, CHENG Y F, et al. Interleukin-20 differentially regulates bone mesenchymal stem cell activities in RANKL-induced osteoclastogenesis through the OPG/RANKL/RANK axis and the NF-κB, MAPK and AKT signalling pathways[J]. *Scandinavian Journal of Immunology*, 2020, 91 (5): e12874.
- [19] XU X Y, TANG Y Z, LANG Y Y, et al. Oral exposure to ZnO nanoparticles disrupt the structure of bone in young rats via the OPG/RANKL/IGF-1 pathway[J]. *International Journal of Nanomedicine*, 2020, 15: 9657-9668.
- [20] 曹端广,杨文龙,夏汉庭,等.基于 OPG/RANKL/RANK 轴观察加味阳和汤及其拆方对去卵巢骨质疏松大鼠的影响[J].中国骨质疏松杂志,2020,26(6):818-821,848.

(本文编辑 黎志清)